

View Opti Beam Lens rotondo

Design iGuzzini /
Arup

iGuzzini

Ultimo aggiornamento delle informazioni: Aprile 2024

Configurazione di prodotto: Q298

Q298: proiettore rotondo corpo grande - medium



Codice prodotto

Q298: proiettore rotondo corpo grande - medium

Descrizione tecnica

Proiettore per interni orientabile con adattatore per installazione su binario trifase /DALI. Apparecchio realizzato in alluminio pressofuso e parte frontale in materiale termoplastico. La doppia orientabilità del proiettore permette una rotazione di 360° attorno l'asse verticale e una inclinazione di 90° sul piano orizzontale. Vano ottico formato da LED in tonalità di colore neutral White 4000K con tecnologia OPTIBEAM LENS, fascio luminoso medium. Driver elettronico dimmerabile integrato su scatola con sistema a semi-scomparsa sul binario. Possibilità di installazione di diversi accessori piani come OPTIBEAM REFRACTOR per la variazione della distribuzione luminosa, rifrattore per distribuzione ellittica, frangiluce, soft lens e un accessorio esterno come la visiera asimmetrica in grado di evitare dispersione di luce parassita sul soffitto.

Colore

Nero (04) | Bianco/Nero (47)

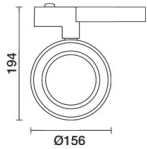
Peso (Kg)

1.66

Montaggio

binario dali|binario trifase

Soddisfa EN60598-1 e relative note



Dati tecnici

| | | | |
|--|-------|------------------------------------|--|
| Im di sistema: | 3208 | Temperatura colore [K]: | 4000 |
| W di sistema: | 29.2 | MacAdam Step: | 2 |
| Im di sorgente: | 3730 | Life Time LED 1: | > 50,000h - L90 - B10 (Ta 25°C) |
| W di sorgente: | 24 | Codice lampada: | LED |
| Efficienza luminosa (lm/W, dati di sistema): | 109.9 | Numero di lampade per vano ottico: | 1 |
| Im in modalità emergenza: | - | Codice ZVEI: | LED |
| Flusso totale emesso a 90° o superiore [Lm]: | 0 | Numero di vani ottici: | 1 |
| Light Output Ratio (L.O.R.) [%]: | 86 | Power factor: | Vedi istruzioni di installazione |
| Angolo di apertura [°]: | 28° | Protezione alle sovratensioni: | 2kV Modo comune e 1kV Modo differenziale |
| CRI (minimo): | 80 | Control: | Push Dim |

Polare

| Imax=11506 cd | Lux | | | |
|---------------|-----|---|------|------|
| | h | d | Em | Emax |
| | 2 | 1 | 2319 | 2876 |
| | 4 | 2 | 580 | 719 |
| | 6 | 3 | 258 | 320 |
| | 8 | 4 | 145 | 180 |

Isolux

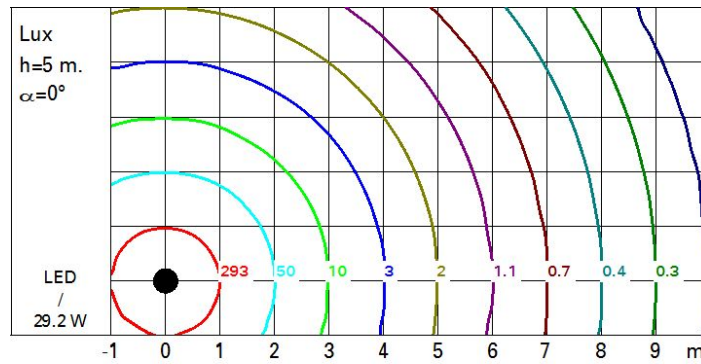


Diagramma UGR

| Corrected UGR values (at 3730 lm bare lamp luminous flux) | | | | | | | | | | | |
|---|------|------------------|------|------|------|------|----------------|------|------|------|------|
| Riflect.: | | 0.70 | 0.70 | 0.50 | 0.50 | 0.30 | 0.70 | 0.70 | 0.50 | 0.50 | 0.30 |
| ceiling/cav | | | | | | | | | | | |
| walls | | | | | | | | | | | |
| work pl. | | | | | | | | | | | |
| Room dim | | viewed crosswise | | | | | viewed endwise | | | | |
| x | y | | | | | | | | | | |
| 2H | 2H | 16.1 | 18.0 | 16.4 | 18.4 | 18.7 | 16.1 | 18.0 | 16.4 | 18.4 | 18.7 |
| | 3H | 17.0 | 18.5 | 17.3 | 18.8 | 19.2 | 16.4 | 18.0 | 16.8 | 18.3 | 18.6 |
| | 4H | 17.3 | 18.5 | 17.6 | 18.9 | 19.2 | 16.5 | 17.8 | 16.9 | 18.2 | 18.5 |
| | 6H | 17.4 | 18.5 | 17.8 | 18.8 | 19.1 | 16.6 | 17.6 | 17.0 | 17.9 | 18.3 |
| | 8H | 17.5 | 18.5 | 17.9 | 18.8 | 19.2 | 16.6 | 17.6 | 17.0 | 17.9 | 18.3 |
| | 12H | 17.4 | 18.4 | 17.8 | 18.8 | 19.2 | 16.5 | 17.5 | 16.9 | 17.9 | 18.2 |
| 4H | 2H | 16.5 | 17.8 | 16.9 | 18.2 | 18.5 | 17.3 | 18.5 | 17.6 | 18.9 | 19.2 |
| | 3H | 17.6 | 18.6 | 18.0 | 18.9 | 19.3 | 17.8 | 18.8 | 18.2 | 19.1 | 19.5 |
| | 4H | 17.9 | 18.9 | 18.3 | 19.2 | 19.7 | 17.9 | 18.9 | 18.3 | 19.2 | 19.7 |
| | 6H | 17.9 | 19.5 | 18.4 | 19.9 | 20.4 | 17.8 | 19.3 | 18.2 | 19.8 | 20.2 |
| | 8H | 17.8 | 19.6 | 18.3 | 20.1 | 20.6 | 17.7 | 19.4 | 18.2 | 19.9 | 20.4 |
| | 12H | 17.8 | 19.6 | 18.3 | 20.1 | 20.6 | 17.6 | 19.4 | 18.1 | 19.9 | 20.4 |
| 8H | 4H | 17.7 | 19.4 | 18.2 | 19.9 | 20.4 | 17.8 | 19.6 | 18.3 | 20.1 | 20.6 |
| | 6H | 17.9 | 19.6 | 18.4 | 20.1 | 20.6 | 18.0 | 19.6 | 18.5 | 20.1 | 20.7 |
| | 8H | 18.0 | 19.5 | 18.5 | 20.0 | 20.6 | 18.0 | 19.5 | 18.5 | 20.0 | 20.6 |
| | 12H | 18.2 | 19.2 | 18.7 | 19.7 | 20.3 | 18.2 | 19.2 | 18.7 | 19.7 | 20.3 |
| 12H | 4H | 17.6 | 19.4 | 18.1 | 19.9 | 20.4 | 17.8 | 19.6 | 18.3 | 20.1 | 20.6 |
| | 6H | 17.9 | 19.4 | 18.5 | 19.9 | 20.5 | 18.0 | 19.5 | 18.5 | 20.0 | 20.5 |
| | 8H | 18.2 | 19.2 | 18.7 | 19.7 | 20.3 | 18.2 | 19.2 | 18.7 | 19.7 | 20.3 |
| Variations with the observer position at spacing: | | | | | | | | | | | |
| S = | 1.0H | 0.4 / -0.3 | | | | | 0.4 / -0.3 | | | | |
| | 1.5H | 1.0 / -0.9 | | | | | 1.0 / -0.9 | | | | |
| | 2.0H | 1.7 / -1.4 | | | | | 1.7 / -1.4 | | | | |